

(HUANJING KEXUE)

ENVIRONMENTAL SCIENCE

第37卷 第10期

Vol.37 No.10

2016

中国科学院生态环境研究中心 主办

斜学出版社出版



終始発費 (HUANJING KEXUE)

ENVIRONMENTAL SCIENCE

第 37 卷 第 10 期 2016 年 10 月 15 日

目 次

```
北京地区空气重污染下雾凇和偏东风对 PM<sub>2.5</sub>清除作用 ·············· 孙兆彬,廖晓农,王占山,李梓铭,赵秀娟,花丛(3679)
降雨对不同粒径气溶胶粒子碰撞清除能力 ………………………………………… 董群,赵普生.陈一娜(3686)
浙江省制鞋行业挥发性有机物污染特征及其排放系数 …………… 徐志荣,姚轶,蔡卫丹,李嫣,许明珠,王浙明(3702)
2014年 APEC 期间北京市 PM<sub>10</sub>和 PM<sub>2.5</sub>氧化性损伤能力研究 … 郭茜, 邵龙义, 王文华, 侯聪, 赵承美, 幸娇萍, 马施民(3708)
树木模拟燃烧排放烟尘中水溶性离子的组成 …………………………………………………… 刘刚,黄柯,李久海,徐慧(3737)
基于台架测试的我国船用柴油机废气排放因子 ……………………… 那辉,段树林,黄连忠,韩志涛,刘勤安(3750)
西安城区地表灰尘中邻苯二甲酸酯分布、来源及人群暴露 ………… 张文娟, 王利军,王丽,史兴民,卢新卫(3758)
生活垃圾焚烧厂垃圾的汞含量与汞排放特征研究 …… 段振亚,苏海涛,王凤阳,李智坚,李韶璞,王书肖(3766)
三峡库区消落带土壤中硫酸盐还原菌对汞甲基化作用的影响 ………………… 陈瑞,陈华,王定勇,向玉萍,申鸿(3774)
城市化进程对地下河中溶解态正构烷烃来源的影响 ……………… 廖昱,孙玉川,沈立成,梁作兵,王尊波(3781)
基于 PMF 模型的长江流域水体中多环芳烃来源解析及生态风险评价 ············· 王成龙、邹欣庆、赵一飞、李宝杰(3789)
贡嘎山地区地表水化学特征及水环境质量评价 ……………………… 何晓丽,吴艳宏,周俊,邴海健(3798)
多元数理统计法研究太子河本溪城市段水体 DOM 紫外光谱特征 ······
 地下水中溶解性有机物的垂直分布特征及成因 ………… 何小松、张慧、黄彩红、李敏、高如泰、李丹、席北斗(3813)
昆明市不同功能区排水管道沉积物性质 ...... 常海东,金鹏康,付博文,李雪兵,贾锐珂(3821)
滇池水生植物分布对沉积物间隙水磷浓度的影响 ……… 丁帅,王圣瑞,张蕊,肖焱波,焦立新,李乐,王忠诚,尹诗诗(3828)
紫色母岩覆盖层控制底泥磷释放的效果及机制 ………………………………………… 黄雪娇,石纹豪,倪九派,李振轮(3835)
快速高效去除微囊藻的 GO/QPEI 复合纳米材料 ····· 李洁,肖琳(3850)
一体式生物净化-沉淀池对微污染水体污染物的强化去除性能 ……………… 王文东,刘荟,马翠,韩雨,常妮妮(3858)
······ 宣雍祺,周丽,邓慧萍,蔡宙,李大鹏,刘刚 (3864)
聚硅酸对不同形态铝沉积行为的影响 ………………… 赵园园,张玥,李素英,石宝友,李贵伟,孙改清(3870)
典型南方水源氨基酸浓度变化与去除 ……………… 刘伟,蔡广强,卢小艳,刘丽君,张金松,刘嘉祺,曲莹(3877)
O,/UV 降解含氮杂环化合物喹啉 ··················· 陈傲蕾,常凤民,汪翠萍,徐恒,吴静,左剑恶,王凯军(3884)
2-丁烯醛生产废水中溶解性有机物的分级解析 …………………… 孙秀梅,宋广清,席宏波,周岳溪,牛远方(3899)
..... 王晓玲, 员东丹, 白莉, 李紫棋, 余勇, 秦旭东, 张晓旭, 赵可(3906)
长江口邻近海域沉积物中厌氧氨氧化细菌分布特征研究 ………………… 付璐璐,甄毓,贺惠,张玉,米铁柱(3914)
焦化废水活性污泥细菌菌群结构分析 ...... 蒙小俊, 李海波, 曹宏斌, 盛字星(3923)
黄土高原不同植被类型下土壤细菌群落特征研究 ……………………………………………… 刘洋,黄懿梅,曾全超(3931)
苯酚对活性污泥活性及微型动物群落结构的影响 …………… 胡小兵,饶强,唐素兰,姜晶,谢瑞桃,郝文静,钟梅英(3939)
城市生活污水和生活垃圾渗滤液抗生素抗性基因污染的比较研究 ……… 黄福义,李虎,安新丽,欧阳纬莹,苏建强(3949)
菌株 Desulfovibrio sp. CMX 的 DNRA 性能和影响因素 ...... 谢柄柯,张玉,王晓伟,孙超越,周集体(3955)
生活污水灌溉对麦秸还田稻田氨挥发排放的影响 ……… 徐珊珊,侯朋福,范立慧,薛利红,杨林章,王绍华,李刚华(3963)
模拟氮沉降对重庆缙云山马尾松林土壤呼吸和酶活性的季节性影响 ………………………………………… 模拟氮沉降对重庆缙云山马尾松林土壤呼吸和酶活性的季节性影响 ……………
 生物炭添加和灌溉对温室番茄地土壤反硝化损失的影响 ·········· 张文娟, 佘冬立, Gamareldawla H. D. Agbna, 夏永秋 (3979)
土壤质地对自养固碳微生物及其同化碳的影响 ………… 王群艳,吴小红,祝贞科,袁红朝,隋方功,葛体达,吴金水(3987)
土壤-作物系统中重金属元素吸收、迁移和积累过程模拟…………… 施亚星,吴绍华,周生路,王春辉,陈浩(3996)
组配改良剂对稻田系统 Pb、Cd 和 As 生物有效性的协同调控 ················ 王英杰, 邹佳玲, 杨文弢, 周航, 廖柏寒(4004)
几种有机物料对设施菜田土壤 Cd、Pb 生物有效性的影响 ··········· 周贵宇,姜慧敏,杨俊诚,张建峰,张水勤,梁雷(4011)
蒙脱石对有机物料施入土壤磷形态和有效性的影响 …………… 宋贤威,赵秀兰,张进忠,胡梦坤,徐艳昭,王明禹(4020)
················秦余丽,熊仕娟,徐卫红,赵婉伊,王卫中,陈永勤,迟荪琳,陈序根,张进忠,熊治庭,王正银,谢德体(4030)
黑麦草和牵牛花对铬耐受能力和积累效果的指标表征研究 ……… 董冰冰,陈友媛,惠红霞,陆维佳,杨秀卿,刘逸凡(4044)
挥发性甲基硅氧烷的体外代谢行为 …………………… 黎敏丹,郑国贸,万祎,胡建英(4054)
中药渣与城市污泥好氧共堆肥的效能 …… 宿程远,郑鹏,阮祁华,覃菁菁,卢宇翔,李俊兵(4062)
《环境科学》征订启事(3827)
           《环境科学》征稿简则(4053) 信息(3736,3930,4043)
```

黄土高原不同植被类型下土壤细菌群落特征研究

刘洋,黄懿梅*,曾全超

(西北农林科技大学资源环境学院,农业部西北植物营养与农业环境重点实验室,杨凌 712100)

摘要: 研究黄土高原不同植被类型对土壤细菌微生物多样性的影响,对发挥土壤潜在肥力、了解土壤健康状况,实现植被的管理与可持续利用有着重要的意义. 本文选取黄土高原 4 种草原植被与 4 种乔木林植被的表层土壤(0~5 cm)为研究对象,利用第二代高通量测序技术 454 HiSeq 对其进行 16S rDNA V1~V3 可变区的高通量测序,分析土壤细菌的 Alpha 多样性、物种组成和丰度,并研究土壤性质对细菌群落结构的影响. 结果表明,所测土壤样品中共检测到细菌的 36 个门,84 个纲,187 个目,优势菌门为变形菌门(Proteobacteria)、放线菌门(Actinobacteria)、酸杆菌门(Acidobacteria)、绿弯菌(Chloroflexi)、浮霉菌门(Planctomycetes),主要的优势菌纲为放线杆菌纲(Actinobacteria)、α-变形菌纲(α-Proteobacteria)、酸杆菌纲(Actinobacteria)、草原植被土壤分布更多的是 Actinobacteria,森林植被土壤分布更多的是 Proteobacteria. Proteobacteria 与土壤有机质、全氮、全磷呈显著的相关性,其相对丰富度主要受土壤碳氮磷含量的限制. Actinobacteria 的生长主要受土壤 pH、水分和土壤有机质的影响. 通过 RDA 分析发现,影响黄土高原土壤细菌分布的主要土壤因子是土壤水分,这些结果丰富了黄土高原土壤微生物多样性的理论知识,而且可为黄土高原植被恢复模式的选择提供理论依据.

关键词:黄土高原: 454 高通量测序: 不同植被类型: 土壤细菌: 环境因子

中图分类号: X172 文献标识码: A 文章编号: 0250-3301(2016)10-3931-08 DOI: 10.13227/j. hjkx. 2016. 10.035

Soil Bacterial Communities Under Different Vegetation Types in the Loess Plateau

LIU Yang, HUANG Yi-mei*, ZENG Quan-chao

(Key Laboratory of Plant Nutrition and the Agri-environment of Northwest China, Ministry of Agriculture, College of Natural Resources and Environment, Northwest A&F University, Yangling 712100, China)

Abstract: In this study, we collected soil samples from four different arborcommunities and four herb communities, which represented two vegetation ecosystems in the northwest of the Loess Plateau. Our objectives were to determine the diversity of soil bacterial communities and the affecting factors with the method of 454 high-throughput pyrosequencing technology. The results showed that the structures of the microbial communities differed in terms of both the predominant phylum and the relative abundance of each phylum. At the phylum level, the dominant phyla were Proteobacteria, Actinobacteria, Acidobacteria, Chloroflexi and Planctomycetes. At the class level, Actinobacteria, α -Proteobacteria, Acidobacteria and Planctomycetacia were predominant. The relative abundance of Actinobacteria in grass vegetation ecosystem was more abundant than that in forest vegetation ecosystem. Proteobacteria in forest vegetation ecosystem were more abundant. Soil pH was significantly correlated with the relative abundance of Actinobacteria. Soil organic matter, soil total N and soil total P were the key factors affecting soil Proteobacteria. These results will provide useful information for the diversity of soil bacteria and guide the practice of vegetation restoration in the Loess Plateau.

Key words: Loess Plateau; 454 high-throughput sequencing; different vegetation types; soil bacteria; environment factors

土壤微生物是土壤与植物的纽带,对土壤的形成和发育起着重要的作用,能够分解土壤中的有机质、矿物质,并释放出营养元素,供给植物利用,最终形成腐殖质,提高土壤的质量. 土壤微生物还参与土壤中碳、氮循环,对于全球气候变化以及碳氮循环有着不容忽视的影响[1,2]. 总之,土壤微生物在土壤的物质和能量的输入与输出中扮演重要角色,是物质循环生态链上的重要环节,具有不可替代的作用. 由于土壤微生物的复杂性和固有特性,土壤微生物的研究工作十分艰巨,迄今为止仍在不断地发展和完善中. 土壤中可培养微生物仅占到土壤整

个微生物群落的 1%~10%,传统的分离培养方法 仅限于对环境中极少部分可培养微生物类群的研究,不能准确全面地反映土壤微生物多样性特征^[3].随着生物化学和分子生物学地不断发展,研究土壤微生物多样性的手段也在不断地更新,从早期的微生物纯培养,土壤酶活、微生物量以及基础

收稿日期: 2016-03-28; 修订日期: 2016-05-11

基金项目: 国家自然科学基金项目(41030532,41171226); 水利部

公益性行业科研专项(201501045)

作者简介: 刘洋(1991~),男,硕士研究生,主要研究方向为生态环

境工程,E-mail: Roshanlx@163.com

* 通讯联系人,E-mail: ymhuang1971@ nwsuaf. edu. cn

呼吸的测定到 BIOLOG 生理代谢图谱分析,磷脂脂肪酸生物标记以及分子生物学(核酸提取、PCR 特异性扩增和核酸探针)检测等,可以越来越准确全面地提供土壤中微生物的相关信息. 高通量测序技术作为二代测序方法,无需构建克隆,耗时少,通量高,能够准确全面地反映土壤微生物群落分布特征^[4],目前已经被广泛用于陆地生态系统土壤微生

黄土高原是中国乃至世界重大的侵蚀区,植被 破坏严重,土壤肥力下降,生态系统稳定性低,已经 对于人类的生存和发展产生了重要的影响. 基于 此,近年来开展了大规模的植树造林、退耕还林还 草生态工程,土壤肥力和植被覆盖度得到了有效地 改善[10],而土壤微生物在这过程起着重要的作用. 土壤微生物是土壤有机组分和生态系统中最活跃的 部分,在促进土壤质量和植物健康方面发挥着重要 的作用,被认为是最敏感的土壤质量生物学指标. 因此应用土壤微生物可以很好地表征土壤质量对植 被恢复的响应. 目前,在黄土高原关于植被恢复中 土壤微生物的研究主要采用的是传统的分离培养 法[11]、磷脂脂肪酸法[12,13] 和 PCR-RFLP 方法[14], 对于不同植被类型土壤中的微生物群落组成和多样 性特征了解上不够全面真实. 因此,本文选取黄土 高原森林植被与草原植被区的土壤为研究对象,采 用 454 焦磷酸高通量测序方法,分析其土壤微生物 细菌多样性,探讨植被恢复对土壤微生物多样性的 影响,以期为黄土高原植被恢复和生态系统构建提 供理论依据.

1 材料与方法

1.1 研究区概况

物多样性研究[5~9].

黄土高原森林植被区以处于黄土丘陵区腹地、 跨陕西、甘肃两省的子午岭为代表. 子午岭林区是 目前保存较好的黄土丘陵区中部地带重要的次生原 始森林天然植被区. 子午岭地理坐标为 107°30′~109°40′ E,33°50′~36°50′ N. 地势南高北低,自西向东北倾斜,海拔为1 300~1 700 m,相对高差 400 m,处于森林草原和半干旱草原的过渡区,气候温和湿润,其北小半部属陇中北部温带半干旱气候,南大半部属陇中南部温带半湿润气候,年平均气温为7.4~8.5℃,极端最低温度为-27.7℃,极端最高气温为36.7℃,≥10℃的活动积温 2671.0℃,无霜期 110~150 d,平均降水量 548.3 mm,干燥度0.97,平均相对湿度63%~68%,地带性土壤以石灰性灰褐土为主. 主要优势物种辽东栎(Quercus liaotungensis)、山杨(Populus davidiana)、侧柏(Biota orientalis)、油松(Pinus tabuliformis)、刺槐(Robinia pseucdoacacia)、白桦(Betula platyphylla)等.

草原植被区位于陕西省安塞县镰刀湾,属典型的大陆性半干旱季风气候,夏秋多雨,冬季干寒. 年日照时数2 415.5 h,辐射总量 480.06 kJ·cm $^{-2}$,无霜期 160~180 d,平均气温 10.3 $^{\circ}$ 、>10 $^{\circ}$ 活动积温 3 177.4 $^{\circ}$ 、多年平均降水量 499.2 mm. 土壤类型以黄绵土为主,约占总面积的 95%,在黄土母质上发育的黄绵土,土壤瘠薄,保水保肥和抗侵蚀性差,有机质含量低,其有机质含量一般不足 1%. 主要优势物种有长芒草(Stipa bungeana)、铁杆蒿(Artemisia vestita)、猪毛蒿(Artemisia scoparia)、阿尔泰狗娃花(Heteropappu saltaicus)、达乌里胡枝子(Lespedeza davurica)等.

1.2 样品采集

2013 年 8 月分别在草原植被区与森林植被区选择四种典型的优势物种为研究对象. 样地基本信息见表 1. 每种植被群落,都选择不同位置的 3 块样地作为野外重复,在各个样地内设置 3 个 20 m×20 m的样方,在每一个样方内用直径 5 cm 的土钻按 S 形布点法选 5 个采样点,在每个点采集 0~5 cm 的土样,混匀后作为1个样方的土样. 土壤采集后挑出石

表 1 不同植被类型下土壤样地的基本信息

| Table 1 Description of sampling sites under different vegetation types | | | | | | | | |
|--|----|-----------------|------------|-------------|------------|------------|----------|--------------|
| 植被类型 | 编号 | 地区 | 年均温度 /℃ | 年降雨量 /mm | 经度 /(°) | 纬度 /(°) | 海拔 /m | 物种类型 |
| - | G1 | | | | 108.97 | 37. 24 | 1 463 | 铁杆蒿、长芒草、茭蒿 |
| 草原植被 | G2 | 安塞 | 10.3 | 499.2 | 108.99 | 37.18 | 1 341 | 铁杆蒿、长芒草、茭蒿 |
| 平加阻欧 | G3 | 又坐 | 10.5 | | 108.97 | 37.25 | 1 406 | 铁杆蒿、长芒草、茭蒿 |
| | G4 | | | | 109.25 | 36.75 | 1 166 | 铁杆蒿、长芒草、茭蒿 |
| | F1 | | | | 109.15 | 36.06 | 1 333 | 侧柏、铁杆蒿、长芒草 |
| 森林植被 | F2 | F2 富县 9.5 F3 | 9.5 | 548.3 | 109.15 | 36.06 | 1 327 | 辽东栎、长芒草、披针苔草 |
| | F3 | | ,.5 | 540.5 | 109.17 | 36.08 | 1 193 | 刺槐、铁杆蒿;长芒草 |
| | F4 | | | | 109.17 | 36.07 | 1 152 | 油松、长芒草 |

块、根系等杂物,分成 3 份,一份立即放入 - 80℃的 冰箱里保存用于 DNA 的提取,一份存储于 4℃冰箱 中,用于测定土壤的微生物量碳,另一份风干过筛用 于测定土壤的基本性质(pH、总氮、总磷).

1.3 土壤基本特性分析

土壤有机质、全氮、总磷、含水率、pH 均按标准方法进行测定^[15]. 土壤微生物生物量碳采用氯仿熏蒸 $0.5 \text{ mol} \cdot \text{L}^{-1} \text{ K}_2 \text{SO}_4$ 浸提法^[16,17]. 其中浸提液中的溶解性碳 (DOC) 采用总有机碳分析仪 (Phoenix 8000,美国) 测定,由熏蒸与未熏蒸土样的 DOC 差值计算得到微生物生物量碳 (MBC),转换系数为 $0.45^{[18]}$. 所有指标每份土样测定 3 个平行.

1.4 土壤 DNA 的提取

土壤样品 DNA 提取后,利用 1% 琼脂糖凝胶电 泳检测抽提的基因组 DNA. 按指定测序区域(V1~ V3),合成带有"5′454 A、B 接头-特异引物 3′"的融 合引物[19]. 为保证后续数据分析的准确性及可靠 性,需满足以下两个条件:①尽可能使用低循环数 扩增;②保证每个样品扩增的循环数一致. 随机选 取具有代表性的样品进行预实验,确保在最低循环 数中使绝大多数样品能够扩增出浓度合适的产物. PCR 采用 TransGen AP221-02: TransStartFastpfu DNA Polymerase; PCR 仪: ABI GeneAmp® 9700 型;全部样品按照正式实验条件进行,每个样品3 个重复,将同一样品的 PCR 产物混合后用 2% 琼脂 糖凝胶电泳检测,使用 AxyPrepDNA 凝胶回收试剂 盒(AXYGEN 公司)切胶回收 PCR 产物, Tris HCl 洗 脱;2%琼脂糖电泳检测.参照电泳初步定量结果, 将 PCR 产物用 QuantiFluor™-ST 蓝色荧光定量系统 (Promega 公司)进行检测定量,之后按照每个样品 的测序量要求,进行相应比例的混合. 最后用 Roche GS FLX + Sequencing Method Manual_XLR70 kit 进行 上机测序.

1.5 数据处理

1.5.1 基本数据处理

所有数据经过 Excel 2013 处理,利用 SPSS 20.0 进行单因素方差分析 (One-Way ANOVA)和最小显著差异法(LSD)比较,各个指标之间采用 Pearson 相关系数法进行相关性分析. 土壤因子与细菌种群分布特征之间的关系利用 Canoco 5.0 进行冗余分析(RDA),研究土壤性质对细菌分布特征的影响.

1.5.2 测序数据的分析与处理

首先对有效序列进行去杂和修剪得到优化数据,使用软件 Qiime (vsesion 1.17 http://qiime.

org/)对数据去杂^[20]. 通过归类操作,将序列按照彼 此的相似性分归为许多小组,一个小组就是一个 OTU(operational taxonomic units). 可根据不同的相 似度水平,对所有序列进行 OTU 划分,通常在 97% 的相似水平下的 OTU 进行生物信息统计分析. 软 件平台: Usearch (vsesion 7.1, http://drive5.com/ uparse/). 采用 RDP classifier 贝叶斯算法对 97% 相 似水平的 OTU 代表序列进行分类学分析,并分别在 各个分类水平: phylum(门)、class(纲)、order(目) 统计各样本的群落组成. 比对数据库: Silva (Release119, http://www. arb-silva. de); RDP (Release 11.1, http://rdp. cme. msu. edu/); Greengene (Release 13.5, http://greengenes. secondgenome. com/). 基于 OUT 基础上计算微生物 群落的丰度和多样性指数 (Chao、Ace、Simpson、 Shannon, Coverage).

对 OTU 列表中获得的分类信息与丰度进行整理,在门与纲分类水平下对各样品进行物种丰度统计、RDA 分析,可得到样品中群落组成结构以及群落结构与环境因子的关系.

2 结果与分析

2.1 土壤理化性质

不同植被区土壤的基本理化性质见表 2. 森林 植被区与草原植被区土壤均为弱碱性,草原植被区 土壤碱性更强,草原植被土壤 pH 显著高于森林植 被土壤(P<0.05). 土壤有机质在草原植被区的变 化范围为 7.78 ~ 12.18 g·kg⁻¹,均值为 9.36 g·kg⁻¹; 在森林植被区的变化范围为 18.34~44.77 g·kg⁻¹,均值为34.82 g·kg⁻¹. 土壤全氮在草原植被 区的变化范围为 0.42~0.88 g·kg⁻¹,均值为 0.61 g·kg⁻¹; 在森林植被区的变化范围为 1.13~2.55 g·kg⁻¹,均值为1.81 g·kg⁻¹. 土壤全磷在草原植被区 变化范围为 0.35~0.53 g·kg⁻¹,均值为 0.49 g·kg⁻¹; 在森林植被区变化范围为 0.51~0.62 g·kg⁻¹,均值 为 0.55 g·kg⁻¹. 土壤微生物生物量碳在草原植被区 变化范围为83.02~257.38 mg·kg⁻¹,均值为185.30 mg·kg⁻¹; 在森林植被区变化范围为 350.83~612.18 mg·kg⁻¹,均值为 519.71 mg·kg⁻¹. 土壤碳磷比在草 原植被区变化范围为 9.96~13.35,均值为 11.05;在 森林植被区变化范围为 18.67~50.14,均值为 36.49. 除土壤全磷外,土壤含水率、土壤有机质、土壤全氮、 土壤微生物量碳、碳磷比均表现为森林植被显著高 于草原植被(P < 0.05).

表 2 不同植被类型下土壤的基本特性1)

| Table 2 | Soil | biochemical | properties | under | different | vegetation | types |
|---------|------|-------------|------------|-------|-----------|------------|-------|
| rabie 2 | Our | Diochemicai | properties | unuci | umerem | vegetation | types |

| | | | | | C | * 1 | |
|------|----------------------------|----------------------------|----------------------------|---------------------|---------------------|----------------------|-----------------------------|
| 类型 | рН | 土壤水分 | 土壤有机质 | 土壤全氮 | 土壤全磷 | 土壤微生物生物量碳 | 土壤碳磷比 |
| 大空 | рп | 工場小刀 | /g•kg ⁻¹ | /g•kg ⁻¹ | /g•kg ⁻¹ | /mg⋅kg ⁻¹ | 上块WWHL |
| G1 | 8. 22 | 0. 08 | 8. 96 | 0. 57 | 0.48 | 83. 02 | 10. 75 |
| G2 | 8. 18 | 0.06 | 8. 49 | 0. 54 | 0.49 | 229. 43 | 10. 12 |
| G3 | 8. 26 | 0. 04 | 7. 78 | 0.42 | 0. 45 | 171. 37 | 9. 96 |
| G4 | 8. 13 | 0. 12 | 12. 18 | 0.88 | 0. 53 | 257. 38 | 13. 35 |
| F1 | 7. 84 | 0. 15 | 49. 89 | 2. 55 | 0. 62 | 612. 18 | 46. 93 |
| F2 | 7. 86 | 0. 24 | 44. 77 | 2.06 | 0. 52 | 693. 15 | 50. 14 |
| F3 | 7. 90 | 0. 16 | 26. 31 | 1. 52 | 0. 51 | 422. 67 | 30. 20 |
| F4 | 8. 14 | 0. 15 | 18. 34 | 1. 13 | 0. 57 | 350. 83 | 18. 67 |
| 草原植被 | $8.20 \pm 0.06a$ | $0.07 \pm 0.03 \mathrm{b}$ | $9.36 \pm 1.95 \mathrm{b}$ | $0.61 \pm 0.19b$ | $0.49 \pm 0.03a$ | 185. $30 \pm 77.02b$ | $11.05 \pm 1.57 \mathrm{b}$ |
| 森林植被 | $7.93 \pm 0.14 \mathrm{b}$ | 0. 17 \pm 0. 04a | $34.82 \pm 14.95a$ | $1.81 \pm 0.62a$ | $0.55 \pm 0.05a$ | 519. 71 ± 159. 76a | $36.49 \pm 14.75a$ |

¹⁾不同字母表示不同植被类型之间存在显著的差异,下同

2.2 Alpha 多样性分析结果

如表 3 所示,所有样品的平均覆盖率为 90%,且 稀释曲线趋于平稳,表明该测序效果理想.在 3%分 类水平下,黄土高原不同植被类型下 Chao、Ace、 Simpson 指数、Shannon 指数、OTU 数量有所差异. OUT 数目、Chao 指数、Ace 指数、Shannon 指数均表现为:草原植被区 > 森林植被区,其中 Shannon 指数在不同植被类型下差异显著(P<0.05),表明草原植被区细菌多样性更为丰富; Simpson 指数大小顺序为:草原植被区 < 森林植被区,二者之间差异不显著.

表 3 不同植被类型下土壤细菌序列统计及多样性指数1)

Table 3 Sequence statistics and diversity indexes of soil bacteria under different vegetation types

| 类型 | 读数 - | 0.97 的分类水平 | | | | | | |
|-----|-----------------|--------------------------|-----------------|-----------------|------------------|---------------------|----------------------|--|
| 天空 | 决奴 | OTU | Ace 指数 | Chao 指数 | 盖度 | Shannon 指数 | Simpson 指数 | |
| G1 | 10 112 | 2 833 | 4 083 | 3 921 | 0. 89 | 7. 29 | 0.0015 | |
| G2 | 10 640 | 2 817 | 3 903 | 3 792 | 0.90 | 7. 30 | 0.0015 | |
| G3 | 9 435 | 2 780 | 4 113 | 4 015 | 0.87 | 7. 34 | 0.0013 | |
| G4 | 7 373 | 2 244 | 3 380 | 3 237 | 0.87 | 7. 13 | 0.0015 | |
| 平均值 | $9390\pm 1432a$ | $2669 \pm 284\mathrm{a}$ | $3870 \pm 339a$ | $3741 \pm 348a$ | $0.88 \pm 0.01a$ | 7. 27 \pm 0. 09 a | $0.0015 \pm 0.0001a$ | |
| F1 | 10 405 | 2 382 | 3 383 | 3 339 | 0.91 | 7. 01 | 0.002 | |
| F2 | 8 500 | 1 969 | 2 731 | 2 734 | 0.91 | 6. 76 | 0.0035 | |
| F3 | 8 601 | 2 435 | 3 591 | 3 452 | 0.88 | 7. 15 | 0.0016 | |
| F4 | 9 306 | 2 363 | 3 469 | 3 340 | 0.89 | 6. 94 | 0.0029 | |
| 平均值 | 9 203 ±878a | $2\ 287\ \pm214a$ | 3 294 ± 385a | 3 216 ± 326a | $0.90 \pm 0.01a$ | 6. 97 \pm 0. 16b | $0.0025 \pm 0.0009a$ | |

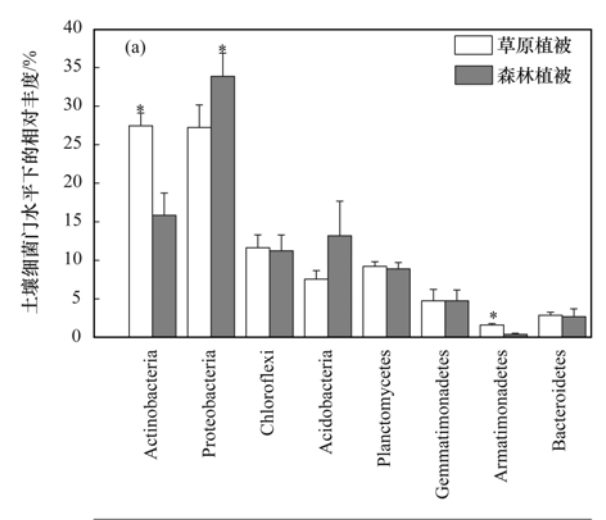
¹⁾不同字母表示不同植被类型间差异显著

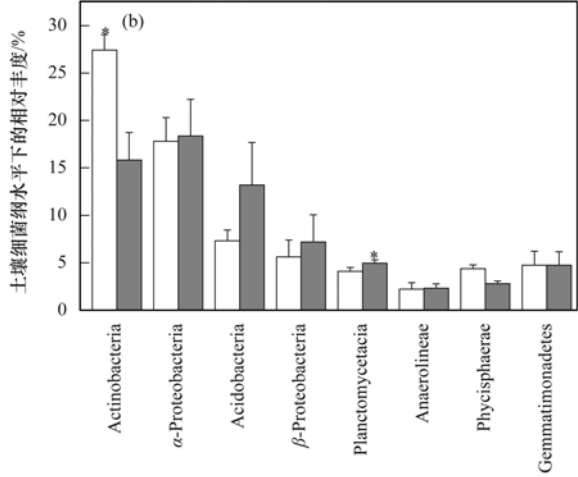
2.3 群落结构组成分析

如图 1(a)所示,通过 454 高通量测序发现黄土高原不同植被类型下的土壤中检测到的主要门有:放线菌门(Actinobacteria)、变形菌门(Proteobacteria)、酸杆菌门(Acidobacteria)、绿弯菌门(Chloroflexi)、浮霉菌门(Planctomycetes)、芽单胞菌门(Gemmatimonadetes)、装甲菌门(Armatimonadetes)等。变形菌门、放线菌门、酸杆菌门、绿弯菌门、浮霉菌门是土壤中占主导地位的微生物,约占到了所有微生物总数的 80% ~85%以上。在森林植被区 Actinobacteria 的变化范围为12.66% ~19.15%,均值为15.83%; Proteobacteria 的变化范围为29.40% ~37.90%,均值为33.86%; Chloroflexi 的变化范围为9.25% ~14.67%,均值为

11. 25%; Acidobacteria 的变化范围为 8. 51% ~ 20. 21%,均值为 13. 19%; Planctomycetes 的变化范围为 7. 99% ~ 10. 02%,均值为 8. 89%. 草原植被区 Actinobacteria 的变化范围为 25. 02% ~ 29. 15%,均值为 27. 41%; Proteobacteria 的变化范围为 23. 72% ~ 30. 57%,均值为 27. 19%; Chloroflexi 的变化范围为 9. 49% ~ 13. 43%,均值为 11. 55%; Acidobacteria 的变化范围为 5. 66% ~ 8. 54%,均值为 7. 33%; Planctomycetes 的变化范围为 8. 33% ~ 9. 71%,均值为 9. 01%.

如图 1(b) 所示,在纲分类水平上,两个植被区 土壤主要的优势菌分别为放线杆菌纲 (Actinobacteria)、 α -变形菌纲(α -Proteobacteria)、酸 杆菌 (Acidobacteria)、 β -变 形菌纲(β -





*表示不同植被类型间差异显著

图 1 门和纲分类水平下的微生物群落组成

Fig. 1 Composition of bacterial community at phylum level and class level

Proteobacteria)、浮霉菌纲(Planctomycetacia). 放线 杆菌纲(Actinobacteria)在森林植被区的变化范围为 12.66%~19.15%,均值为15.83%;在草原植被区 为 25.02% ~ 29.15%,均值为 27.41%,草原植被区 显著高于森林植被(P < 0.05). α-变形菌纲(α-Proteobacteria) 在森林植被区的变化范围为 15.00% ~ 24.11%,均值为 18.35%;在草原植被区为 15.61%~22.06%,均值为17.80%,两个植被区差 异不显著(P>0.05). 酸杆菌(Acidobacteria)在森 林植被区的变化范围为 8.51% ~ 20.21%,均值为 13. 19%; 在草原植被区为 5. 66%~8. 54%, 均值为 7.33%,草原植被区与森林植被差异不显著(P> 0.05). β-变形菌纲(β-Proteobacteria) 在森林植被区 的变化范围为 4.61% ~ 11.68%, 均值为 7.20%; 在草原植被区为 4.00% ~ 8.45%, 均值为 5.61%, 草原植被区与森林植被差异不显著(P>0.05). 浮 霉菌纲(Planctomycetacia)在森林植被区的变化范围 为 4.38% ~ 5.36%, 均值为 4.96%; 在草原植被区 为 3.71% ~ 4.66%, 均值为 4.11%, 草原植被区显 著低于森林植被差异(P<0.05).

2.4 环境因素对微生物群落的影响

如表 4 所示,相关性分析表明,Actinobacteria 的相对丰富度与土壤 pH 值呈显著的正相关,与含水率、有机质、全氮呈显著的负相关. Proteobacteria 与土壤全磷、全氮、有机质呈显著的正相关. 土壤含水率与 Acidobacteria 的相对丰富度呈显著的负相关, 与 Actinobacteria、 Armatimonadetes、Cyanobacteria 的相对丰富度呈显著的正相关. 土壤

表 4 土壤基本性质与土壤细菌优势菌的相对丰富度的相关性分析1)

Table 4 Correlation between soil properties and the relative abundance of soil bacteria phyla at the phylum level

| 优势菌 | pН | SM | SOM | Total N | Total P |
|------------------|------------|-----------|------------|----------|-----------|
| Actinobacteria | 0.711* | -0.888** | -0.736* | -0.753 * | -0.663 |
| Proteobacteria | - 0. 682 | 0. 674 | 0.759 * | 0. 801 * | 0. 917 ** |
| Chloroflexi | 0. 501 | -0.316 | -0.451 | -0.46 | -0.221 |
| Acidobacteria | - 0. 725 * | 0. 858 ** | 0. 695 | 0. 633 | 0. 087 |
| Planctomycetes | 0. 305 | -0.452 | -0.438 | -0.44 | -0.504 |
| Bacteroidetes | 0. 138 | 0. 106 | -0.067 | -0.188 | -0.516 |
| Gemmatimonadetes | 0. 141 | -0.007 | -0.27 | -0.167 | 0. 133 |
| Armatimonadetes | 0. 655 | -0. 760 * | - 0. 776 * | -0.775 * | -0.696 |
| Nitrospirae | 0.080 | 0. 198 | -0.065 | -0.001 | 0. 356 |

1) * 表示存在显著相关(P < 0.05), * *表示存在极显著相关(P < 0.01)

有 机 质、 土 壤 全 氮 与 Actinobacteria、Armatimonadetes 的相对丰富度呈显著的负相关.

所有样品因环境因素的不同而聚类或分离的情况,从图 2 中可看出,特征根的 F = 2.5,轴 1、轴 2、

轴3 和轴4的特征根的相关系数分别为0.94、0.97、0.87和0.99,到轴4的累计合理解释变量为86.2%.环境变量间夹角的余弦值表示二者的相关关系.森林植被区和草原植被区的微生物组成差异

较大,森林植被区位于二、三象限,草原植被区位于一、四象限,G1 与 G4 土壤的微生物差异较小. Actinobacteria、Acidobacteria 群落与 pH 显著正或负相关,Proteobacteria 群落与 TP、SOM、TN 呈显著正相关.

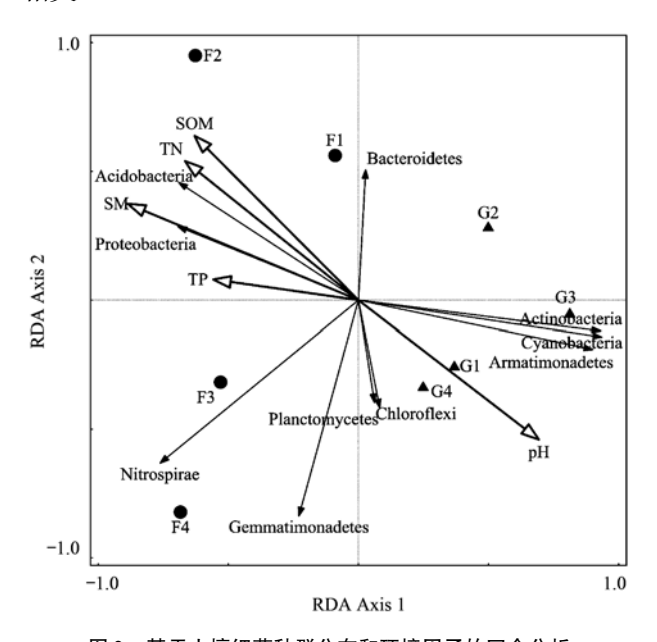


图 2 基于土壤细菌种群分布和环境因子的冗余分析 Fig. 2 Redundancy analysis (RDA) based on soil bacteria community at phylum level and environmental factors of the soil

如图 3 所示,不同的土壤微生物群落受土壤性 质的影响不一致. Actinobacteria 能够被土壤环境因 子的解释率为90.4%,其中土壤水分的解释率最 高,高达 77.3% (P < 0.05). Proteobacteria 能够被 土壤环境因子的解释率为99.8%,其中土壤总磷的 解释率最高, 高达 85.3%. 其次为 MBC(8.7%). Chloroflexi 能够被土壤环境因子的解释率为 62.3%,其中土壤 pH 和 MBC 是影响其分布的主要 影响因子. Acidobacteria 能够被土壤环境因子的解 释率为99.4%,其中土壤水分的解释率最高,高达 72.9%. 其次为 MBC (16.6%). Planctomycetes 能 够被土壤环境因子的解释率为63.5%,其中土壤 pH 与土壤总磷的解释率较高,分别为 14.6% 和 25.5%. Bacteroidetes 能够被土壤环境因子的解释 率为73%,其中土壤水分与土壤总磷的解释率较 高,分别为 16.7% 和 27.6%. Gemmatimonadetes 能 够被土壤环境因子的解释率为97.4%,其中土壤水 分、总氮、MBC 的解释率较高,分别为 42.6%、 25.5%、17.6%. Armatimonadetes 能够被土壤环境 因子的解释率为78.9%,其中土壤水分较高,高达 69.4%. Cyanobacteria 能够被土壤环境因子的解释 率为99.2%,其中土壤水分、pH、SOM、TN解释率较高,分别为58.3%、10.4%、9.6%、9.1%.

37 卷

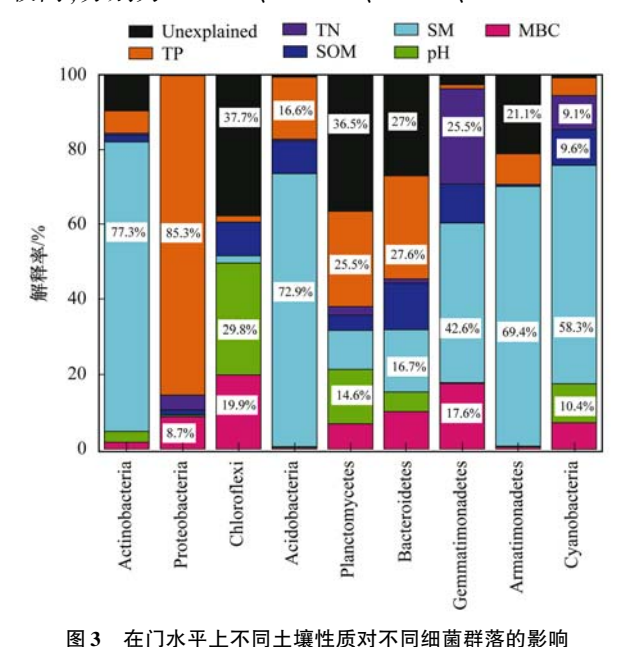


Fig. 3 Individual contribution of each significant parameter to the proportion of variation explained in soil bacteria communities

3 讨论

黄土高原植被恢复已经对土壤的基本特性产生 了显著的影响. 大量的研究表明,植被恢复能有效 地提高土壤的碳氮磷含量[21],影响土壤微生物区系 的组成[22],促进土壤的团聚体的形成,提高土壤的 稳定性[23],在生态服务功能方面起着重要的作用. 土壤微生物的生长又主要受土壤的基本特性与环境 因子的影响. 经过多年的植被恢复,植被组成、盖 度均已经发生了重要的变化. 土壤表层已经累积大 量的枯枝落叶,微生物通过分解枯枝落叶对土壤养 分循环与其自身多样性具有影响^[9]. Actinobacteria 能够降解复杂的木质素[24]与纤维素[25],为土壤提 供养分. 森林植被区 4 种乔木林土壤 Actinobacteria 所占比例范围在 12.66%~19.15%之间,与杨树人 工林土壤较为一致^[8]. 在 Proteobacteria 门中, α-Proteobacteria 是最主要的亚门, 其次是 β -Proteobacteria 亚门,森林植被与草原植被区所占比 例分别为 43% ~ 64%、13% ~ 34%, 这与韩亚飞 等[8] 对杨树人工林等的研究一致,而 Roesch 等[6] 和 Zhang 等^[7] 采用高通量测序方法等研究发现 β-Proteobacteria 的丰富度大于 α-Proteobacteria. 李新 等[26]研究发现变形菌门(α -变形菌纲、 β -变形菌纲、 γ -变形菌纲和 δ -变形菌纲)是盐碱土壤的主要类群. 本研究中,变型菌门是最主要的优势菌门,而该地区

土壤呈弱碱性,也验证了变型菌门为碱性土壤中的主要优势群落.而4种草本植被土壤中分布最多的是放线菌门(Actinobacteria),其相对丰度显著高于森林植被区(P<0.05).很多研究发现 pH 是影响微生物群落的主要影响因素^[27,28],这与本研究一致.pH 主要影响 Chloroflexi 门与 Planctomycetes 的分布. Liu 等^[4]运用高通量测序研究发现影响东北黑土土壤细菌生物地理学分布的关键因子是 pH.

此外,土壤肥力及土壤环境状况的不同,土壤微 生物种群数量也会存在某种程度的差别. 森林植被 土壤有机质、总氮、总磷、微生物生物量碳氮显著 高于草原植被土壤,而 Acidobacteria、Bacteroidetes 的相对丰富度也显著高于草原植被土壤,可能是养 分差异所导致的. 本研究中,土壤全磷是影响 Proteobacteria 分布的主要因子,解释率高达85.3%. Liu 等^[29]研究发现在年龄较老的森林土壤中,土壤 磷含量是影响土壤微生物种群结构的一个重要的环 境因子,但是不是影响松树林里土壤微生物群落的 主要因素. Cleveland 等[30] 在热带雨林里也发现土 壤磷含量是影响土壤微生物群落结构的主要因子. 也有研究发现土壤有机碳浓度是驱动土壤微生物生 物地理学分布的主要原因[4]. 尽管不同植被类型下 土壤的有机碳差异显著(P < 0.05),但是 RDA 分析 结果表明有机碳并不是影响该区域土壤细菌群落分 布的主要因素. 而土壤水分是影响黄土高原土壤细 菌种群分布的主要原因,这与 Zhang 等[31]的研究一 致. 本研究中,土壤水分对 Acidobacteria 的解释率 高达 77.3%,对 Acidobacteria 的解释率为 72.9%, 此外土壤水分也是影响 Gemmatimonadetes、 Armatimonadetes、Cyanobacteria 分布的最主要的环 境因子. 表明在半干旱地区土壤水分是影响细菌分 布的主要环境因子.

目前,很多学者应用测序研究土壤微生物的生物地理学分布^[4,5,27],探究土壤微生物是否像动物、植物那样随着纬度的差异而变化.有学者认为纬度是影响土壤微生物分布的重要因素^[32,33],也有学者认为纬度不是影响土壤微生物的主要因素^[18].本研究中由于区域较小,纬度变化不是影响土壤细菌分布的主要因素.黄土高原作为退化生态系统的典型代表,植被生态系统变异性大,是否会对土壤微生物群落分布造成影响,目前还缺乏对其土壤微生物生物学地理分布的研究,探明退化生态系统下土壤微生物的地理分布,对评估黄土高原的生态恢复效益与土壤肥力的保育具有非常重要的意义.

4 结论

- (1)454 高通量测序技术测序结果能够全面的 反映土壤样品细菌群落的组成及结构. 多样性指数 表明草原植被土壤多样性高于森林植被土壤.
- (2)两个植被区土壤中的优势菌门为变形菌门(Proteobacteria)、放线菌门(Actinobacteria)、酸杆菌门(Acidobacteria)、绿弯菌(Chloroflexi)、浮霉菌门(Planctomycetes),主要的优势菌纲为放线杆菌纲(Actinobacteria)、α-变形菌纲(α-Proteobacteria)、酸杆菌纲(Acidobacteria)、β-变形菌纲(β-Proteobacteria)、浮霉菌纲(Planctomycetacia).
- (3)不同细菌群落受土壤环境因子的影响不一致,土壤水分是影响 Acidobacteria 和 Actinobacteria 分布的主要影响因子,土壤全磷是影响Proteobacteria分布的关键因子.总体来看,土壤水分是影响黄土高原土壤细菌群落分布的主要因素.参考文献:
- [1] Harris J A. Measurements of the soil microbial community for estimating the success of restoration [J]. European Journal of Soil Science, 2003, 54(4): 801-808.
- [2] 杨宁, 邹冬生, 杨满元, 等. 衡阳紫色土丘陵坡地恢复过程中土壤微生物生物量与土壤养分演变[J]. 林业科学, 2014, **50**(12): 144-150.
- [3] 张洪霞,谭周进,张祺玲,等. 土壤微生物多样性研究的 DGGE/TGGE 技术进展[J]. 核农学报,2009,23(4):721-
- [4] Liu J J, Sui Y Y, Yu Z H, et al. High throughput sequencing analysis of biogeographical distribution of bacterial communities in the black soils of Northeast China [J]. Soil Biology and Biochemistry, 2014, 70: 113-122.
- [5] Liu W H, Zhu J J, Jia Q Q, et al. Carbon sequestration effects of shrublands in three-north shelterbelt forest region, China[J]. Chinese Geographical Science, 2014, 24(4): 444-453.
- [6] Roesch L F W, Fulthorpe R R, Riva A, et al. Pyrosequencing enumerates and contrasts soil microbial diversity [J]. The ISME Journal, 2007, 1(4): 283-290.
- [7] Zhang T, Shao M F, Ye L. 454 pyrosequencing reveals bacterial diversity of activated sludge from 14 sewage treatment plants[J]. The ISME Journal, 2012, 6(6): 1137-1147.
- [8] 韩亚飞, 伊文慧, 王文波, 等. 基于高通量测序技术的连作 杨树人工林土壤细菌多样性研究[J]. 山东大学学报(理学 版), 2014, **49**(5): 1-6.
- [9] 井赵斌,程积民,张宝泉,等. 基于454 焦磷酸测序法的典型草原土壤真核生物多样性[J]. 草业科学,2013,30(11):1690-1697.
- [10] Deng L, Liu G B, Shangguan Z P. Land-use conversion and changing soil carbon stocks in China's 'grain-for-green' program: a synthesis [J]. Global Change Biology, 2014, 20 (11): 3544-3556.
- [11] 邢肖毅,黄懿梅,安韶山,等.黄土丘陵区不同植被土壤氮素转化微生物生理群特征及差异[J].生态学报,2013,33

- (18) 5608-5614.
- [12] 胡婵娟,郭雷,刘国华. 黄土丘陵沟壑区不同植被恢复格局下土壤微生物群落结构[J]. 生态学报,2014,34(11):2986-2995.
- [13] 闫浩, 黄懿梅, 蒋跃利, 等. 宁南山区两种灌木林土壤矿化 过程中 PLFA 指纹季节变化特征 [J]. 环境科学学报, 2014, 34(8): 2111-2120.
- [14] 刘桂婷,程林,王保莉,等.长期不同施肥对黄土旱塬黑垆土氨氧化细菌多样性的影响[J].中国农业科学,2010,43(13),2706-2714.
- [15] 鲍士旦. 土壤农化分析[M]. 北京: 中国农业出版社, 2000.
- [16] Sparling G P, West A W. Modifications to the flmigation extraction technique to permit simultaneous extraction and estimation of soil microbial C and N[J]. Communications in Soil Science and Plant Analysis, 1988, 19(3): 327-344.
- [17] Vance E D, Brookes P C, Jenkinson D S. An extraction method for measuring soil microbial biomass C [J]. Soil Biology and Biochemistry, 1987, 19(6): 703-707.
- [18] Jenkinson D S, Brookes P C, Powlson D S. Measuring soil microbial biomass[J]. Soil Biology and Biochemistry, 2004, 36 (1) · 5-7.
- [19] 唐霁旭, 王志伟, 马金星, 等. 454 高通量焦磷酸测序法鉴定 膜生物反应器膜污染优势菌种[J]. 微生物学通报, 2014, **41**(2): 391-398.
- [20] Schloss P D, Westcott S L, Ryabin T, et al. Introducing mothur: open-source, platform-independent, communitysupported software for describing and comparing microbial communities [J]. Applied and Environmental Microbiology, 2009, 75(23): 7537-7541.
- [21] 曾全超,李鑫,董扬红,等. 陕北黄土高原土壤性质及其生态化学计量的纬度变化特征[J]. 自然资源学报,2015,30(5):870-879.
- [22] Huang Y M, Michel K, An S S, et al. Changes in microbialcommunity structure with depth and time in a chronosequence of restored grassland soils on the Loess Plateau in northwest China

- [J]. Journal of Plant Nutrition and Soil Science, 2011, **174** (5): 765-774.
- [23] An S S, Mentler A, Mayer H, et al. Soil aggregation, aggregate stability, organic carbon and nitrogen in different soil aggregate fractions under forest and shrub vegetation on the loess plateau, China [J]. CATENA, 2010, 81(3): 226-233.
- [24] Lynd L R, Weimer P J, Van Zyl W H, et al. Microbial cellulose utilization: fundamentals and biotechnology [J]. Microbiology and Molecular Biology Reviews, 2002, 66(3): 506-577.
- [25] Pankratov T A, Ivanova A O, Dedysh S N, et al. Bacterial populations and environmental factors controlling cellulose degradation in an acidic sphagnum peat [J]. Environmental Microbiology, 2011, 13(7): 1800-1814.
- [26] 李新, 焦燕, 代钢, 等. 内蒙古河套灌区不同盐碱程度的土壤细菌群落多样性[J]. 中国环境科学, 2016, **36**(1): 249-260
- [27] Fierer N, Jackson R B. The diversity and biogeography of soil bacterial communities[J]. Proceedings of the National Academy of Sciences of the United States of America, 2006, 103 (3): 626-631.
- [28] 袁红朝, 吴昊, 葛体达, 等. 长期施肥对稻田土壤细菌、古菌多样性和群落结构的影响[J]. 应用生态学报, 2015, **26** (6): 1807-1813.
- [29] Liu L, Gundersen P, Zhang T, et al. Effects of phosphorus addition on soil microbial biomass and community composition in three forest types in tropical China [J]. Soil Biology and Biochemistry, 2012, 44(1): 31-38.
- [30] Cleveland C C, Townsend A R, Schmidt S K. Phosphorus limitation of microbial processes in moist tropical forests: evidence from short-term laboratory incubations and field studies [J]. Ecosystems, 2002, 5(7): 680-691.
- [31] Zhang X F, Zhao L, Xu S J Jr, et al. Soil moisture effect on bacterial and fungal community in Beilu River (Tibetan Plateau) permafrost soils with different vegetation types [J]. Journal of Applied Microbiology, 2013, 114(4): 1054-1065.

HUANJING KEXUE

Environmental Science (monthly)

Vol. 37 No. 10 Oct. 15, 2016

CONTENTS

| Statistical Characteristics of Urban Chargebon PM ₂ , Based on Sensors Analysis WANG Zhen, YI Fijm, XI Peoping, and (1732) Comprison Toe Research Color Mechanics of Water-stable lines in Stable Entitled from The Based Municipal Methods for PM _{2, 3} YANG Congrain Congruints of Water-stable lines in Stable Entitled from The Based Combination Wang Committed Composition of Water-stable lines in Stable Entitled from The Based Combination Wang Committed Composition of Water-stable lines in Stable Entitled from The Based Combination Wang Committed Composition of Water-stable lines in Stable Entitled from The Based Combination Wang Committed Composition of Water-stable lines in Stable Entitled from The Based Composition Wang Committed Composition of Water-stable Research of Municipal Stabl Waste in Water Incident Plants Wang Committed Composition Composition of Water-stable Research of Municipal Stabl Waste in Water Incident Plants Wang Committed Composition Composition Composition of Municipal Stabl Waste in Water Incident Plants Wang Committee Composition Compositi | Scavenging Effect of Rime and East Wind on PM _{2, 5} Under Air Heavy Pollution in Beijing Impact of Collision Removal of Rainfall on Aerosol Particles of Different Sizes Source Apportionment and Health Risk Assessment of VOCs During the Haze Period in the Winter in Beijing Pollution Characteristics and Emission Coefficient of Volatile Organic Compounds from Shoe-making Industry in Zhejiang Provinc Oxidative Capacity of the PM ₁₀ and PM _{2, 5} in Beijing During 2014 APEC Concentration, Water-Soluble Ionic and Polycyclic Aromatic Hydrocarbons Composition and Sources of PM _{2, 5} During Summer in | DONG Qun, ZHAO Pu-sheng, CHEN Yi-na (3686) LIU Dan, XIE Qiang, ZHANG Xin, et al. (3693) XU Zhi-rong, YAO Yi, CAI Wei-dan, et al. (3702) GUO Qian, SHAO Long-yi, WANG Wen-hua, et al. (3708) |
|--|--|--|
| Both-danies, Source and Hamana Exposure of Phadalic deal Eases (PAEs) in strafee Bast in Hahan Area of Xian —— ZHANC Weepian, WANG Lipin, WANG Lipin, WANG Lipin, WANG Lipin, WANG Lipin, WANG Hoppians of Manicipal Solid Water Invested Phatantage Zune of the Three Guges Beservoir Area (HEN Bis, CHEN Has, WANG Hoppians, et al. (3768) Hope of Sulfan-Educing Bacteria in Mercury Melylation in Stal of the Water-Level-Phatantage Zune of the Three Guges Beservoir Area (HEN Bis, CHEN) Has, WANG Hoppians, et al. (3781) Source Apportisement and Ecological Risk Assessment of Polycyclic Aromatic Hydrocurbous in Surface Water from Yangtor River, China; Based on PMF Model WANG Chene Buog, 200 Niverjog, 2HAO Yi-6e, et al. (3789) Hydroc-themical Characteristics and Quality Assessment of Surface Water in Georgia Montanta Regim WHA Surface Characteristics of The Water Model Characteristics of Security on Benat Chys. Section by Multivariable Junglishis WANG Chene Buog, 200 Niverjog, 2HAO Yi-6e, et al. (3788) UV-Vialde Spectra Desperies of DOM from Tain River in Benat City Section by Multivariable Junglishis WHANG Chene Buog, 200 Niverjog, 2HAO Yi-6e, et al. (3801) Verical Biochtonic Cantercristics of Security on Domestic Area of Kamaing Verical Biochtonic Cantercrists of Security Office of Security on Benatic Plants in Daniel Lake UN-Vialde Spectra Desperies on Different Functional Areas of Kamaing Security of Secur | Statistical Characteristics of Urban Changzhou PM _{2.5} Based on k-means Analysis Comparison Test Between On-line Monitoring of Water-soluble Ions and Filter-based Manual Methods for PM _{2.5} Chemical Composition of Water-soluble Ions in Smoke Emitted from Tree Branch Combustion | |
| Impact of Urbanization on the Sources of Bosobvel n-Albre in Undergound Biorr Source Apportionment and Ecological Risk Assessment of Polycyclic Accoratic Phylocochron is Surface Water from Yangto River, China, Based on PBH Model WANG Clanegiong, 2010 Vin-qing, 2010 Vis-qing, 4 al. (3780) Phyloc-Demical Characteristics and Quality Assessment of Surface Water in Gonga Montain Region HE Xun-H, WU Yan-bong, 2010 Jin, et al. (3780) Vertical Distribution Characteristics of Dissolved Organic Matter in Gonga Montain Region HE Xino-sung, 711ANG Hai, HUANG Cai-bong, et al. (3805) Vertical Distribution Characteristics of Sover in Different Functional Areas of Kanning CHANG Hai, HUANG Cai-bong, et al. (3813) Soliment Characteristics of Sover in Different Functional Areas of Kanning CHANG Hai, HUANG Cai-bong, et al. (3813) Soliment Characteristics of Sover in Different Functional Areas of Kanning CHANG Hai, HUANG Cai-bong, et al. (3813) Ellicitory and Mechanisms of Capping with Pupich Parent Roeks to Cartar Phosphorus Delense from Sediments HUANG Xun-jus, SHI Wer-ham, Ni lin-pai, et al. (3825) Copyred Manoumposais for Fast and High-equexity Henomal of M. Aeroginous WANG Wen-door, JU Hui, MA Cin., et al. (3812) Enhanced Publimat Removal Performance of an Integrated Biological Settling Task from Micro-publised Warer Bedies WANG Wen-door, JU Hui, MA Cin., et al. (3885) Molecutal Removal and Nerrobial Characteristics in Treatment of Micro-published Warer Bedies WANG Wen-door, JU Hui, MA Cin., et al. (3887) Molecutal Removal Henovyleic Characteristics in Treatment of Micro-published Source Water with Biological Postdered Activated Carbon Huilifeliation Condition Huise and Amazon Archio in Trybial Prinking Sources in the Santh of China WANG Wen-door, JU Li, DENG Hui-ping, et al. (3887) Molecutal Removal and Removal of Amino Archio in Trybial Prinking Sources in the Santh of China Hui Jian-door, Jun-Jun-Jun-Jun-Jun-Jun-Jun-Jun-Jun-Jun- | Distribution, Source and Human Exposure of Phthalic Acid Esters (PAEs) in Surface Dust in Urban Area of Xi'an City, China Mercury Emission Characteristics and Mercury Concentrations of Municipal Solid Waste in Waste Incineration Plants | ZHANG Wen-juan, WANG Li-jun, WANG Li, et al. (3758) DUAN Zhen-ya, SU Hai-tao, WANG Feng-yang, et al. (3766) rvoir Area |
| U-Visible Spectra Properties of DOM from Tair River in Bensi Giy Section by Multivariable Analysis Uertical Distribution Characteristics of Dissolved Organic Matter in Commobater and Its Cause HE Xiao-sung, ZHANG Hai, HUANG Cai-bong, et al. (3812) Concentration of Phosphorus in Sediments Interestitial Water as Affected by Distribution of Aquatic Plants in Dianchi Lake DING Shani, WANG Sheng, nil, Planche, nil, et al. (3822) Efficiency and Mechanism of Capping with Purple Parent Rocks to Control Phosphorus Releases from Sediments HEANG Xuo-jian, SHI Wen-haw, Ni Iliu-quian, et al. (3823) Efficiency and Mechanism of Capping with Purple Parent Rocks to Control Phosphorus Releases from Sediments HEANG Xuo-jian, SHI Wen-haw, Ni Iliu-quian, et al. (3824) GO/QPEI Nanocomposite for East and High-cupacity Removal of M. Aeruginosa II Jie, XIAO Lin (3889) Enhanced Pollutar Removal Performance of an Integrated Biological Sediling Tank from Micro-polluted Water Bodies WANG Wen-dong, LIU Hui, MA Cai, et al. (3884) Effect of Polysilicia Acid on the Deposition Behavior of Different Aluminum Species ULAN Yong-qi, ZHOU Li, DENG Hui-ping, et al. (3884) Effect of Polysilicia Acid on the Deposition Behavior of Different Aluminum Species ZHAO Yuan-yuan, ZHANG Yue, Il Se-ying, et al. (3884) Effect of Polysilicia Acid on the Deposition Behavior of Different Aluminum Species ZHAO Yuan-yuan, ZHANG Yue, Il Se-ying, et al. (3884) Inpact of Anthrapinose-2-salfonic Acid on the Mocolorization, Hybrogen Production and Energy Creation During Ausenbaic Fermentation of Riberiol Sci. (3884) Inpact of Anthrapinose-2-salfonic Acid on the Mocolorization, Hybrogen Production and Energy Creation During Ausenbaic Fermentation of Riberiol Sci. (3884) Inpact of Maniferent Fermion Sci. (3884) Inpact of Maniferent Deposition of Activated Sludge from Caking Wastewater But Jim Gold Community Composition of Activated Sludge from Caking Wastewater But Jim Gold Community Composition of Activated Sludge from Caking Wastewater and Landfill | Impact of Urbanization on the Sources of Dissolved n-alkane in Underground River Source Apportionment and Ecological Risk Assessment of Polycyclic Aromatic Hydrocarbons in Surface Water from Yangtze Rive | LIAO Yu, SUN Yu-chuan, SHEN Li-cheng, et al. (3781) er, China; Based on PMF Model |
| Efficiency and Mechanism of Capping with Purple Parent Rocks to Control Phosphorus Release from Sediments HUANG Xue-jiao, SHI Wen-bao, N Jiu-pai, et al. (3835) Temporal and Spatial Distribution of Phosphorus in Padry Fields Under Cyclic Irrigation of Denianga Water [JAO Ping-jin, XU Di, ZHU Jans-piang, et al. (3845) COO/PEI Nanocomposite for Fast and High-capacity Removal of M. Aeroginoa [La Jie, XIAO Lia, 3859] La Dianced Pollutant Removal Performance of an Integrated Biological Settling Tank from Micro-polluted Water Bodies WANG Wens-dong, ILU Hui, MA Chi, et al. (3858) Odorants Removal and Microbial Characteristics in Treatment of Micro-polluted Source Water with Biological Powdered Activated Carbon-Ultrafiltration Combined Process XUAN Youn-yuan, ZHANG Yue, U. Say-ing, et al. (3870) Concentration Variation and Removal of Amino Acids in Typical Drinking Sources in the South of China LIU Wei, CAI Gaung-qiang, I.U Xiao-yan, et al. (3877) Degradation of the Nitrogenous Heterocyclic Compound Quindine by Oy-UV Anthronginone-2-sulforic Acid on the MO Decolorization, Hydrogen Production and Energy Creation During Manerobic Fermentation of Richardella oxytoca GS-4-08 with Sucress HU Jin-med, YU Lei, HUANG Tian-yin (3891) Classification and Analysis of Dissolved Organic Matter in 2-Batemal Manufacture Wastewater SUN Xiu-mei, SONG Gaung-qing, XI Hong-bo, et al. (3899) Concentration of Nitrate in Main Anoxic Stage and PHA, TP Metabolism for Nitrogen and Phosphorus Removal in Single Sludge System with Continuous Flow WANG Xiao-ling, YUAN Dong-dan, BAI Li, et al. (3906) Distribution Characteristics of Anaerobic Autivated Sludge from Caking Wastewater MENG Xiao-jing, YUAN Dong-dan, BAI Li, et al. (3905) Distribution Characteristics of Anaerobic Autivated Sludge from Caking Wastewater MENG Xiao-jing, Hi Hai-bo, CAO Hong-bin, et al. (3991) Bacterial Community Composition of Activated Sludge from Caking Wastewater and Landill Lacabate MENG Xiao-jing, Hi Bing-bai, J. Tuan, et al. (3991) Effects of Dif | UV-Visible Spectra Properties of DOM from Taizi River in Benxi City Section by Multivariable Analysis Vertical Distribution Characteristics of Dissolved Organic Matter in Groundwater and Its Cause Sediment Characteristics of Sewer in Different Functional Areas of Kunming | |
| XUAN Yong-qi, ZHOU Li, DENG Hui-ping, et al. (3864) Effect of Polysilicic Acid on the Deposition Behavior of Different Aluminum Species ZHAO Yuan-yuan, ZHAOK Yue, LI Su-ying, et al. (3870) Concentration Variation and Removal of Amino Acids in Typical Drinking Sources in the South of China LIU Wei, CAI Guang-qiang, LU Xiva-yan, et al. (3871) Degradation of the Nitrogenous Heterocyclic Compound Quinoline by 0 ₃ /UV ——————————————————————————————————— | Efficiency and Mechanism of Capping with Purple Parent Rocks to Control Phosphorus Release from Sediments Temporal and Spatial Distribution of Phosphorus in Paddy Fields Under Cyclic Irrigation of Drainage Water GO/QPEI Nanocomposite for Fast and High-capacity Removal of M. Aeruginosa | |
| Impact of Anthraquinone-2-sulfonic Acid on the MO Decolorization, Hydrogen Production and Energy Creation During Anaerobic Fermentation of Klebsiella oxytoca GS-4-08 with Sucrose HU Jin-mei, YU Lei, HUANG Tian-yin (3891) Classification and Analysis of Dissolved Organic Matter in 2-Buternal Manufacture Wastewater SUN Xiu-mei, SONG Guang-qing, XI Hong-bo, et al. (3899) Concentration of Nitrate in Main Anoxic Stage and PHA, TP Metabolism for Nitrogen and Phosphorus Removal in Single Sludge System with Continuous Flow WANG Xiao-ling, YUAN Dong-dan, BAI Li, et al. (3906) Distribution Characteristics of Anaerobic Anmonia Oxidation Bacteria in Sediments from the Adjacent Seas of Yangtze Estuary WENG Xiao-ling, YUAN Dong-dan, BAI Li, et al. (3914) Bacterial Communities Under Different Vegetation Types in the Loess Plateau HU Yang, HUANG Yi-mei, ZENG Quan-chao (3931) Effects of Phenol on Activity and Microfauna Community Structure of Activated Sludge HU Xiao-bing, RAO Qiang, TANG Sul-ne, et al. (3939) Performance and Influencing Factors of Dissimilatory Nitrate Reduction to Ammonium Process by the Strain Desulforibrio sp. CMX XU Shan-shan, HOU Peng-fu, FAN Li-hui, et al. (3963) Seasonal Effect of Straw Incorporation and Domestic Sewage Irrigation on Ammoniua Volatilization from Paddy Fields XU Shan-shan, HOU Peng-fu, FAN Li-hui, et al. (3971) Effects of Siouchard Amendment and Irrigation on Soil Respiration and Soil Enzyme Activity in Masson Pine Forest in Mt. Jinyun, Chongqing, China Effects of Siouchard Amendment and Irrigation on Denitrification Losses in Greenhouse Tomato Fields ZHANG Wen-juan, SHE Dong-li, Gamareldavla H. D. Aghna, et al. (3971) Effects of Soil Texture on Autotrophic CO ₂ Fixation Bacterial Communities and Their CO ₂ Assimilation Contents WANG Qun-yan, WU Xiao-hong, ZHU Zhen-ke, et al. (3987) Simulation of the Absorption, Migration and Accumulation Process of Heavy Metal Elements in Soil-crop System SHI Ya-ing, WU Shao-hua, ZHOU Sheng-lu, et al. (4004) Effects of Montmorillonite on Fr | Effect of Polysilicic Acid on the Deposition Behavior of Different Aluminum Species Concentration Variation and Removal of Amino Acids in Typical Drinking Sources in the South of China | |
| Distribution Characteristics of Anaerobic Ammonia Oxidation Bacteria in Sediments from the Adjacent Seas of Yangtze Estuary | Impact of Anthraquinone-2-sulfonic Acid on the MO Decolorization, Hydrogen Production and Energy Creation During Anaerobic Classification and Analysis of Dissolved Organic Matter in 2-Buternal Manufacture Wastewater Concentration of Nitrate in Main Anoxic Stage and PHA, TP Metabolism for Nitrogen and Phosphorus Removal in Single Sludge | c Fermentation of Klebsiella oxytoca GS-4-08 with Sucrose |
| Comparative Investigation of Antibotic Resistance Genes Between Wastewater and Landfill Leachate | Distribution Characteristics of Anaerobic Ammonia Oxidation Bacteria in Sediments from the Adjacent Seas of Yangtze Estuary Bacterial Community Composition of Activated Sludge from Coking Wastewater Soil Bacterial Communities Under Different Vegetation Types in the Loess Plateau | |
| Effects of Biochar Amendment and Irrigation on Denitrification Losses in Greenhouse Tomato Fields | Comparative Investigation of Antibotic Resistance Genes Between Wastewater and Landfill Leachate Performance and Influencing Factors of Dissimilatory Nitrate Reduction to Ammonium Process by the Strain Desulforibrio sp. CM Effect of Straw Incorporation and Domestic Sewage Irrigation on Ammonia Volatilization from Paddy Fields Seasonal Effect of Simulated Nitrogen Deposition on Soil Respiration and Soil Enzyme Activity in Masson Pine Forest in Mt. Jiny | HUANG Fu-yi, LI Hu, AN Xin-li, et al. (3949) IX XIE Bing-ke, ZHANG Yu, WANG Xiao-wei, et al. (3955) XU Shan-shan, HOU Peng-fu, FAN Li-hui, et al. (3963) yun, Chongqing, China |
| Efficiency of Aerobic Co-composting of Urban Sludge and Chinese Medicinal Herbal Residues | Effects of Biochar Amendment and Irrigation on Denitrification Losses in Greenhouse Tomato Fields | G Wen-juan, SHE Dong-li, Gamareldawla H. D. Agbna, et al. (3979) |

《环境科学》第6届编辑委员会

主 编: 赵进才

副主编:赵景柱 郝吉明 田 刚

编 委: (按姓氏笔画排序)

万国江 王华聪 王凯军 王绪绪 田 刚 田 静 史培军

朱永官 刘志培 刘 毅 汤鸿霄 孟 伟 周宗灿 林金明

赵进才 赵景柱 姜 林 郝郑平 郝吉明 聂永丰 黄 霞

黄耀鲍强潘纲潘涛魏复盛

环维种草

(HUANJING KEXUE)

(月刊 1976年8月创刊)

2016年10月15日 第37卷 第10期

ENVIRONMENTAL SCIENCE

(Monthly Started in 1976)

Vol. 37 No. 10 Oct. 15, 2016

| 主 | 管 | 中国科学院 | Superintended | by | Chinese Academy of Sciences |
|-------|---------------|--------------------------------------|------------------|----|---|
| 主 | 办 | 中国科学院生态环境研究中心 | Sponsored | by | Research Center for Eco-Environmental Sciences, Chinese |
| 协 | 办 | (以参加先后为序) | | | Academy of Sciences |
| | | 北京市环境保护科学研究院 | Co-Sponsored | by | Beijing Municipal Research Institute of Environmental |
| | | 清华大学环境学院 | | | Protection |
| 主 | 编 | 赵进才 | | | School of Environment, Tsinghua University |
| 编 | 辑 | 《环境科学》编辑委员会 | Editor-in -Chief | • | ZHAO Jin-cai |
| 21111 | 11 | 北京市 2871 信箱(海淀区双清路 | Edited | by | The Editorial Board of Environmental Science (HUANJING |
| | | 18 号, 邮政编码:100085) | | | KEXUE) |
| | | 电话:010-62941102,010-62849343 | | | P. O. Box 2871, Beijing 100085, China |
| | | 传真:010-62849343 | | | Tel: 010-62941102,010-62849343; Fax: 010-62849343 |
| | | E-mail; hjkx@ rcees. ac. cn | | | E-mail; hjkx@ rcees. ac. cn |
| | | http://www.hjkx.ac.cn | | | http://www.hjkx.ac.cn |
| 出 | 版 | # 望 出 版 社 | Published | by | Science Press |
| щ | /IX | 北京东黄城根北街 16 号 | | | 16 Donghuangchenggen North Street, |
| | | 邮政编码:100717 | | | Beijing 100717, China |
| 印刷装 | ìΤ | 北京北林印刷厂 | Printed | by | Beijing Bei Lin Printing House |
| 发 | 行 | 结 堡 业 版 社 | Distributed | by | Science Press |
| ~ | | 电话:010-64017032 | | | Tel:010-64017032 |
| | | E-mail: journal@ mail. sciencep. com | | | E-mail:journal@mail.sciencep.com |
| 订 购 | 处 | 全国各地邮电局 | Domestic | | All Local Post Offices in China |
| 国外总发 | 衸行 | 中国国际图书贸易集团有限公司 | Foreign | | China International Book Trading Corporation (Guoji |
| | | (北京 399 信箱) | - | | Shudian), P. O. Box 399, Beijing 100044, China |

中国标准刊号: ISSN 0250-3301 CN 11-1895/X

国内邮发代号: 2-821

国内定价:120.00元

国外发行代号: M 205

国内外公开发行